

(123) 鋳床精錬におけるプラスティング脱珪反応機構

(大量溶銑処理法の開発—第2報)

住友金属工業(株)鹿島製鉄所

○和田 実 山本高郁 斎藤 徹

1. 緒言

溶銑予備脱珪処理において、高炉鋳床でのプラスティング脱珪法が、反応性、熱ロス、時間ロスなどの点で非常に優れていることは、既に報告⁽¹⁾した。本報では、その反応機構について報告する。

2. 調査方法

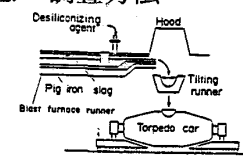


Fig. 1 Layout of operating apparatus of desilicizing treatment

(1) 実験要領をFig. 1 に示す。

(2) 使用した脱珪剤・脱磷剤の化学組成をTable 1 に示す。

3. 調査結果

3.1 脱珪反応

Fig. 2 に脱珪状況を示す。脱珪剤原単位の多い領域では、脱珪剤及び処理方法の違いにより差異がある。

3.2 併発反応

Fig. 3 に脱珪処理時の脱磷量を示す。脱珪剤及び処理方法の違いにより、脱磷挙動に顕著な差が見られる。

又、脱炭はType A, Dで進み易く、B, Cでは進みにくいことが判った。

4. 考察

Fig. 4 に脱磷平衡到達状況を示す。Type B, Cは、非平衡のまま反応が停滞していることが判る。以上の結果から反応モデルを推定するとFig. 5 となる。第一段階では脱珪・脱磷が同時に進行する。第二段階では反応が停滞する場合と脱珪・脱磷が進む場合がある。この差異はスラグ性状の差によると推定される。

5. 結言

高炉桶脱珪プラスティング反応機構の検討をした。脱珪剤によりスラグ性状を制御すれば、有用な併発反応機能を持たせ得ることが判った。

Table I Chemical composition of the desilicizing agents

Desilicizing agents	Chemical composition (%)						Desilicizing method
	Fe ₂ O ₃	FeO	CaO	SiO ₂	Al ₂ O ₃	TiO ₂	
TYPE A	39.9	22.7	19.1	3.1	3.1	6.14	Blasting in BF runner
TYPE B	12.7	62.0	18.6	1.5	0.4	Tr	Blasting in BF runner
TYPE C	77.7	0.1	12.0	5.8	0.6	0.05	Blasting in BF runner
TYPE D	75.7	4.2	10.1	5.8	1.9	0.40	Injection in torpedo car

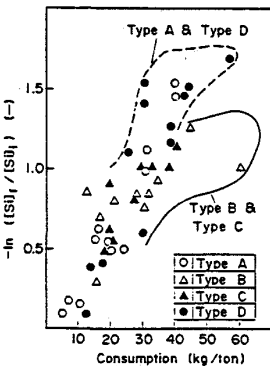
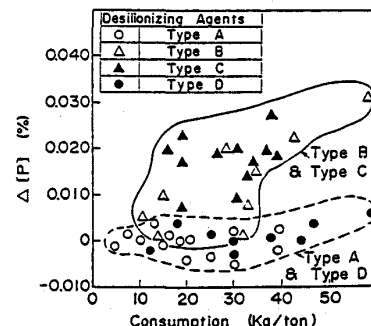
Fig. 2 Desilicizing agent consumption vs. -ln ([Si]_f / [Si]_i)

Fig. 3 Dephosphorization during the desilicization

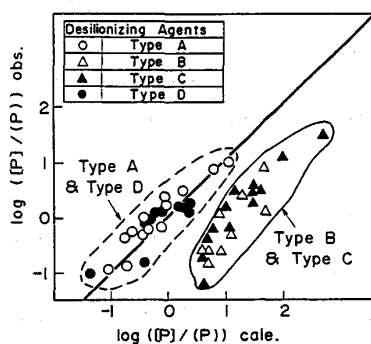


Fig. 4 log ([P]/(P)) calc. vs. log ([P]/(P)) obs.

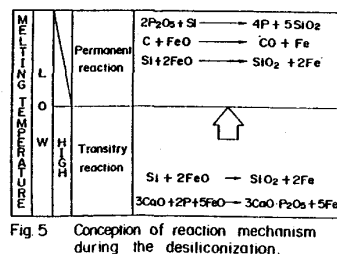


Fig. 5 Conception of reaction mechanism during the desilicization.